

Работа 1.4.2
Сибгатуллин Булат, Б01-007

**Определение ускорения свободного падения при
помощи обратного маятника**

Цель работы: определить величину ускорения маятника свободного падения, пользуясь обратным маятником.

В работе используются: обратный маятник, счетчик числа колебаний, секундомер, штангенциркуль с пределом измерений 1 мм.

Свободным падением называют движение тела вблизи поверхности Земли, при котором можно не учитывать силы сопротивления, возникающие в среде окружающей тело. Ускорение свободного падения вблизи поверхности Земли можем рассчитать по формуле:

$$\vec{g} = \frac{\vec{F}}{m} \quad (1)$$

Система отсчета, связанная с Землей, не является инерциальной. В этой системе на тело, кроме гравитационных сил, действуют ещё центробежная сила и сила Кориолиса. Под ускорением свободного падения обычно понимается тангенциальная к траектории компонента ускорения, и сила Кориолиса при этом не учитывается. Очевидно, что для покоящегося на поверхности Земли тела сумма силы притяжения к Земле и центробежной равна силе реакции опоры, то есть весу тела.

Сила притяжения тела к Земле определяется произведением его массы m на напряженность поля тяготения Земли, которая обычно обозначается \vec{g}_0 :

$$\vec{F}_0 = m\vec{g}_0 \quad (2)$$

Напряженность поля тяготения определяется распределением масс в Земле. Если бы Земля представляла собой шар постоянной плотности, то внутри шара напряженность росла пропорционально расстоянию от центра Земли, а вне шара падала бы обратно пропорционально квадрату расстояния от центра Земли. В действительности Земля не очень однородна. Плотность её растёт с глубиной. Из-за этого напряженность поля тяготения даже немного увеличивается с глубиной, примерно до 2800 км (при этом расстояние до центра Земли около 3600 км), а затем

начинает падать по линейному закону. Над поверхностью Земли распределение напряженности гравитационного поля близко к распределению вне однородного шара. На высоте порядка 300 км напряженность поля тяготения меньше, чем у поверхности Земли, примерно на 10%.

Кроме сил притяжения к Земле, действуют ещё силы притяжения к Луне и Солнцу, но вклад их в полную напряженность гравитационного поля очень мал, хотя они в глобальных масштабах вызывают такие заметные явления, как приливы.

Вращение Земли привело к её деформации за счёт центробежных сил. Суммарная напряженность поля, обозначаемая g и равная ускорению свободного падения, обычно приводится в таблицах распределения свободного падения по поверхности Земли. На полюсе $g = 983,2155 \text{ см/с}^2$, а затем уменьшается с уменьшением широты, и на экваторе $g = 978,0300 \text{ см/с}^2$. Это приводит, например к тому, что маятниковые часы на экваторе за сутки отстанут от аналогичных часов на полюсе на 3,8 минуты.

Неоднородность Земли в горизонтальном направлении также приводит к локальным изменениям g . Большое количество очень точных измерений на поверхности Земли показало, что g меняется также со временем. Периодические изменения, связанные с лунными приливами, равны примерно $2,49 \cdot 10^{-4} \text{ см/с}^2$, а с солнечными - порядка $9,6 \cdot 10^{-5} \text{ см/с}^2$. Такого же порядка изменения происходящие в течение года, связаны с геологическими процессами внутри Земли (так называемые вековые изменения).

Первые измерения g с точностью до 10^{-3} см/с^2 (миллигал) были выполнены в начале века с помощью оборотных маятников. Для получения такой точности периоды колебаний должны быть измерены с точностью до 10^{-6} с , а приведенные длины - до 1 микрона. Современные методы измерения полей g делятся на динамические и статические. К динамическим относятся измерения с помощью маятников, в том числе и оборотных.

В последнее время благодаря увеличению точности измерений расстояний и времен стали применяться прямые методы измерения ускорения падающих тел. Использование лазерных интерферометров для измерения пути падающего в вакуумной трубе тела, снабженного уголкового отражателем, и атомных часов позволило определить абсолютное значение ускорения свободного падения с точностью до $3 \cdot 10^{-6} \text{ см/с}^2$. Динамические методы позволяют измерять абсолютные значения ускорения свободного падения. Статические методы позволяют измерять относительное изменение ускорения свободного падения с точностью до $1,5 \cdot 10^{-5} \text{ см/с}^2$ и основываются на измерении деформации пружин, на которых подвешены грузики, либо на закручивании горизонтально закрепленных

нитей под действием рычагов с грузиками.

Период колебаний физического маятника определяется формулой:

$$T = 2\pi\sqrt{\frac{I}{mga}} \quad (3)$$

Здесь I - момент инерции маятника относительно оси качания, m - масса маятника, a - расстояние от центра масс до оси качания.

Приведенная длина физического маятника, равная длине математического маятника, имеющего такой же период колебаний, выражается формулой:

$$l_{pr} = \frac{I}{ma} \quad (4)$$

Массу маятника и период его колебаний можно измерить с высокой точностью, но точно измерить момент инерции не удастся. Указанного недостатка лишен метод оборотного маятника, который позволяет исключить момент инерции из расчетной формулы для g .

Метод оборотного маятника основан на том, что период колебаний физического маятника не изменяется при перемещении оси в центр качаний, т.е. в точку, отстоящую от оси качаний на расстояние, равное приведенной длине маятника, и лежащую на одной прямой с точкой подвеса и центром масс маятника.

Применяемый в настоящей работе оборотный маятник (рис. 1) состоит из стальной пластины (или стержня), на которой укреплены две однородные призмы Π_1 и Π_2 . Период колебаний маятника можно менять при помощи подвижных грузов Γ_1 , Γ_2 и Γ_3 .

Допустим, что нам удалось найти такое положение грузов, при котором периоды колебаний маятника T_1 и T_2 на призмах Π_1 и Π_2 совпадают, т.е.

$$T_1 = T_2 = 2\pi\sqrt{\frac{I_1}{mgl_1}} = 2\pi\sqrt{\frac{I_2}{mgl_2}}, \quad (5)$$

где L_1 и L_2 - расстояния от центра массы маятника до призм Π_1 и Π_2 .

Условием этого, очевидно, является равенство приведенных длин, т.е. равенство величин I_1/ml_1^2 и I_2/ml_2^2 . По теореме Гюйгенса-Штейнера

$$I_1 = I_0 + ml_1^2, \quad I_2 = I_0 + ml_2^2, \quad (6)$$

где I_0 - момент инерции маятника относительно оси, проходящей через его центр масс (и параллельной оси качаний). Исключая из (5) и (6) I_0 и m , получим формулу для определения g :

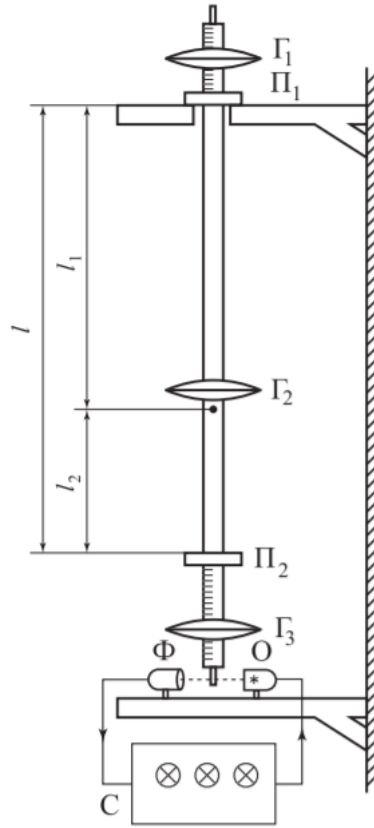


Рис. 1. Оборотный маятник

$$g = \frac{4\pi^2}{T^2}(l_1 + l_2) = 4\pi^2 \frac{L}{T^2}. \quad (7)$$

Здесь $L = l_1 + l_2$ - расстояние между призмами Π_1 и Π_2 , которое легко может быть измерено с высокой точностью ($0,1$ мм) при помощи большого штангенциркуля (но не путем суммирования измерений l_1 и l_2 , погрешность получения которых в работе велика и составляет несколько миллиметров).

Заметим, что формула (7) следует из формул (5) и (6) лишь при условии, что

$$l_1 \neq l_2; \quad (8)$$

так как при $l_1 = l_2$ равенства (5) и (6) удовлетворяются тождественно.

При выводе формулы (7) мы полагали, что $T_1 = T_2$. На самом деле точного равенства добиться, конечно, невозможно. Тогда

$$T_1 = 2\pi \sqrt{\frac{I_0 + ml_1^2}{mgl_1}}, \quad T_2 = 2\pi \sqrt{\frac{I_0 + ml_2^2}{mgl_2}}.$$

Из этих равенств имеем

$$T_1^2 gl_1 - T_2^2 gl_2 = 4\pi^2(l_1^2 - l_2^2),$$

откуда

$$g = 4\pi^2 \frac{l_1^2 - l_2^2}{l_1 T_1^2 - l_2 T_2^2} = 4\pi \frac{L}{T_0^2}, \quad (9)$$

где

$$T_0^2 = \frac{l_1 T_1^2 - l_2 T_2^2}{l_1 - l_2} = T_2^2 + \frac{l_1}{l_1 - l_2} (T_1 + T_2)(T_1 - T_2). \quad (10)$$

Погрешность определения g может быть найдена из (9):

$$\frac{\sigma_g}{g} = \sqrt{\left(\frac{\sigma_L}{L}\right)^2 + 4\left(\frac{\sigma_{T_0}}{T_0}\right)^2}. \quad (11)$$

Входящая в эту формулу погрешность σ_{T_0} сама должна быть вычислена. Прежде чем это сделать, исследуем, как зависит период колебаний от расстояния l между центром масс и осью качаний маятника. Для этого выразим момент инерции I с помощью (6) через I_0 :

$$T = 2\pi \sqrt{\frac{I_0 + ml^2}{mgl}}. \quad (12)$$

График этой зависимости изображен на рис. 2. При $l \rightarrow 0$ период T стремится к бесконечности по закону $l^{-1/2}$. При $l \rightarrow \infty$ он стремится к бесконечности как $l^{1/2}$. Период минимален при двух разных значениях l : одно из них больше, а другое меньше l_{min} . Эти разные значения и были использованы в формулах (5) - (7). Из графика видно, что при изменении T величины l_1, l_2 сближаются или удаляются друг от друга.

Найдем зависимость погрешности в определении T_0 от разности $l_1 - l_2$. Для этого исследуем, например, как зависит σ_{T_0} от погрешности в определении T_1 . Дифференцируя первое равенство (10) и полагая T_2 неизменным, мы получаем

$$2T_0(dT_0)_{T_2} = \frac{l_1}{l_1 - l_2} 2T_1 dT_1, \quad (dT_0)_{T_2} = \frac{l_1}{l_1 - l_2} \cdot \frac{T_2}{T_0} dT_1.$$

Аналогично при неизменном T_1 получим

$$(dT_0)_{T_1} = -\frac{l_2}{l_1 - l_2} \cdot \frac{T_2}{T_0} dT_2.$$

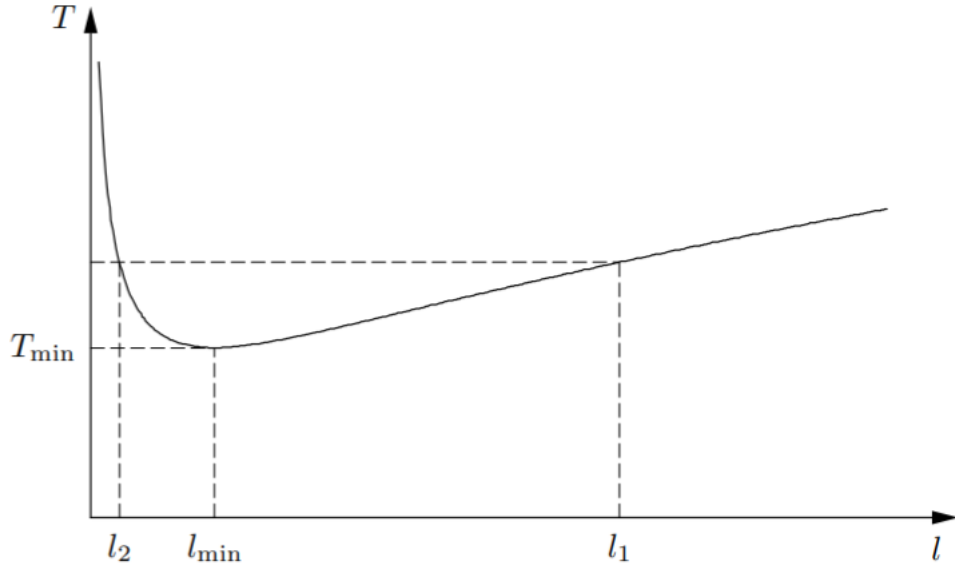


Рис. 2. Зависимость периода колебания маятника от расстояния между центром масс и осью качаний

Рассмотрим случай, когда l_1 и l_2 близки друг к другу. Знаменатель формулы при этом мал и погрешность в определении T_0 резко возрастает. Тот же вывод справедлив для пересчета погрешности dT_2 в погрешность dT_0 (при неизменном T_1). Поэтому период колебаний следует выбирать так, чтобы l_1 и l_2 заметно отличались друг от друга (при различии их в 1,5 раза погрешность T_0 превышает погрешность T_1 менее чем на порядок).

Получим формулу для расчета погрешности dT_0 . Обратимся для этого ко второму равенству (10). Заметим, что $T_1 \approx T_2$, так что $T_1 - T_2$ мало. Поэтому при не слишком малых $l_1 - l_2$ второй член в этой формуле играет роль небольшой поправки.

Следовательно, если учитывать ошибки измерений l_1 и l_2 (но не T_1 и T_2), то эти ошибки будут умножаться на малую величину $T_1 - T_2$ и ими при расчете погрешностей σ_{T_0} можно пренебречь (даже несмотря на то, что эти ошибки могут быть равны нескольким миллиметрам, что обычно получается в данной работе). Учитывая, что погрешности в измерении периодов T_1 и T_2 независимы и примерно равны друг другу, окончательно найдем, используя для расчета ошибок общую формулу:

$$\sigma_{T_0} \approx \frac{\sqrt{l_1^2 + l_2^2}}{l_1 - l_2} \sigma_T, \quad (13)$$

где σ_T - погрешность измерений периодов.

Видно, что погрешность периодов слабо зависит от точности с которой выполняются $T_1 = T_2$. Поэтому нет смысла тратить время на его уточнение, когда они равны друг другу, с точностью до нескольких процентов.

Заметим, наконец, что соотношение l_1/l_2 не должно быть слишком большим. При увеличении их отношения, увеличивается время измерения и растет роль сил трения, которые при выводе формулы (3) не учитывались.

Поясним это утверждение. Роль трения определяется отношением работы, производимой этими силами за период колебаний, к запасу колебательной энергии в системе. Работа сил трения слабо зависит от l_2 . Запас колебательной энергии равен потенциальной энергии, которую приобретает маятник при поднятии его центра масс, т.е.

$$W_{hes} = mgl_2(1 - \cos \varphi),$$

где φ - угол отклонения маятника. При уменьшении l_2 значение W_{hes} падает. Таким образом, мы приходим к выводу, что отношение l_1 к l_2 не должно быть ни слишком большим; желательно, чтобы выполнялось условие

$$1,5 < \frac{l_1}{l_2} < 3. \quad (14)$$

Ход работы

1. Познакомимся с прибором и обратным маятником. Определим из характеристик прибора его погрешность $\sigma_t = 0,01(c)$. Определим рабочий диапазон амплитуд, в пределах которого период колебаний T можно считать не зависящим от амплитуды. Для этого установив маятник на одной из призм и отклонив его на угол $\varphi(\sim 10^\circ)$, и измерим время 100 полных колебаний. Уменьшим угол отклонения в два раза и повторим измерения в результате получив период T' .

Получим $T = 151,67/100 = 1,5167 \text{ с}$, $T' = 151,45/100 = 1,5145 \text{ с}$. В пределах точности измерений получаем $T = T'$.

2. Изучим каким образом время колебаний T_1 и T_2 (при опоре на призмы Π_1 и Π_2 соответственно) зависят от положения грузов G_1 , G_2 и G_3 . Изначально грузы G_1 и G_3 вплотную прижаты к соответствующим призмам.

T_1	1,531	1,527	1,537	1,534	1,526
T_2	1,517	1,507	1,527	1,523	1,509

В данной таблице первый столбик (не считая столбца с обозначениями T_1 и T_2) включает в себя информацию о периодах в начальный момент времени. Вторым столбцом задается информация о периодах при G_2 смещенном в сторону G_1 , третьим при G_2 смещенном в сторону G_3 , четвертым при G_1 смещенном в сторону от G_1 и пятым при G_3 смещенном в сторону от G_1 .

По результатам измерений можем определить, что на изменение T_1 в большей степени влияет перемещение G_1 . На изменение T_2 в большей степени влияет перемещение G_3 . А на изменение $|T_1 - T_2|$ в большей степени влияет перемещение G_2 . При чем при перемещении G_1 и G_3 периоды T_1 и T_2 изменяются в одну сторону, а при перемещении G_2 в разные.

3. Перемещая груз наиболее сильно влияющий на величину разности (в нашем случае это G_2) добьемся грубого совпадения периодов. В результате получим $T_1 = 1,532$ и $T_2 = 1,522$, тогда $|T_1 - T_2| = 0,010$. Проверим, удовлетворяют ли в этом случае l_1 и l_2 неравенству (14):

$$l = 60,00 \pm 0,01 \text{ (мм)}$$

$$l_1 = 37,4 \pm 0,1 \text{ (мм)}$$

$$l_2 = 22,5 \pm 0,1 \text{ (мм)}$$

В таком случае:

$$\frac{l_1}{l_2} = \frac{37,4}{22,5} = 1,66.$$

Следовательно l_1 и l_2 удовлетворяют неравенству (14).

Перемещая G_1 и G_3 добьемся более точного совпадения T_1 и T_2 . В результате получим $T_1 = 1,537$ и $T_2 = 1,529$, тогда $|T_1 - T_2| = 0,007$. Проверим, удовлетворяют ли для данных значений периода неравенство (14):

$$l_1 = 36,2 \pm 0,1 \text{ (мм)}$$

$$l_2 = 23,8 \pm 0,1 \text{ (мм)}$$

В таком случае:

$$\frac{l_1}{l_2} = \frac{36,2}{23,8} = 1,52.$$

Следовательно l_1 и l_2 удовлетворяют неравенству (14).

Окончательное измерение величин проведем по $N = 250$ полным колебаниям маятника. Также убежусь в том, что трение не оказывает заметного влияния на колебания (за 250 раз амплитуда колебания заметно не изменяется).

Для 250 колебаний получаем, что $T_1 = 1,538$ и $T_2 = 1,531$, тогда $|T_1 - T_2| = 0,008$. По результатам измерений можем убедиться, что трение не оказывает существенного влияния на колебания.

4. Проведя все нужные измерения вычислим ускорение свободного падения g и её погрешность σ_g . Для того, чтобы вычислить g вычислим T_0 по формуле (10), а потом и само ускорение свободного падения:

$$T_0^2 = 1,529^2 + \frac{36,2}{36,2 - 23,8} (1,537 + 1,529)(1,537 - 1,529) = 2,41 \text{ с}^2$$

$$g = 4\pi^2 \frac{0,6}{2,41} = 9,828 \text{ м/с}^2$$

Определим погрешность измерения периодов:

$$\sigma_T = \frac{\sigma_t}{N} = \frac{0,01}{250} = 0,00004 \text{ с}$$

Зная σ_T найдем по формуле (13) погрешность σ_{T_0} :

$$\sigma_{T_0} \approx 0,00004 \frac{\sqrt{36,2^2 + 23,8^2}}{36,2 - 23,8} = 0,00014 \text{ с}$$

И по формуле 11 окончательно вычислим σ_g :

$$\sigma_g = g \sqrt{\frac{\sigma_l}{l} + 4 \frac{\sigma_{T_0}}{T_0}}$$

$$\sigma_g = g \sqrt{\frac{0,1}{600} + 4 \frac{0,00014}{1,552}} = 0,023 \text{ м/с}^2$$

По полученным данным $g = 9,828 \pm 0,023 \text{ м/с}^2$.

Сравним полученные данные с табличными значением на данной широте. Стандартное значение ускорение свободного падения составляет $9,815 \text{ м/с}^2$, это значение совпадает с полученными нами данными в пределах погрешности.

Оценим влияние луны на ускорение свободного падения масса луны $m = 7,3477 \cdot 10^{22} \text{ кг}$, расстояние от Земли до луны равно $l = 3,844 \cdot 10^8 \text{ м}$. Наибольшая разница в измерениях ускорения свободного падения вызванная влиянием луны будет достигаться когда вначале луна будет находиться над нами, а потом под (в надире). Эту разницу можно посчитать по формуле:

$$\delta g = 2 \frac{F}{m} = 2 \frac{Gm}{l^2}$$

$$\delta g = 6,633 \cdot 10^{-5} \text{ м/с}^2$$

Эта разница гораздо меньше, чем точность с которой мы измерили ускорение свободного падения. Следовательно, в на-

шем случае мы не сможем заметить влияние луны на ускорение свободного падения.

Вывод: познакомились с обратным маятником, с его помощью с высокой точностью определили величину ускорения свободного падения.